

扩展 Skyrme 力的自洽半经典计算与原子 核电模式 isovector 巨共振性质*

李国强
(南京大学)

徐躬耦
(南京大学, 兰州大学)

摘 要

利用自洽半经典 (SCSC) 计算确定的基态核子分布, 讨论了电模式 isovector 巨共振性质. 特别是, 我们不仅考虑了 $\Delta T_3 = 0$ 的模式, 而且考虑了 $\Delta T_3 = \pm 1$ 模式, 从而讨论了此类巨共振的同位旋性质, 给出了它们的增强因子及 Centroid 能量的同位旋分裂. 其中增强因子和 HF + RPA 计算结果相一致, 而 Centroid 能量的同位旋分裂则和实验事实相近.

一、引 言

近十几年来, 关于巨共振的实验及理论的研究一直是核物理的一个重要领域. 实验上, 对核基态上的巨共振已作了详尽的研究^[1], 而且随着重离子核物理实验手段的不断改进, 直接观察和研究热核上的巨共振也成了可能^[2]. 理论上, 自洽 HF + RPA 计算不失为研究巨共振的有力工具. 事实上, 关于球形核基态上的巨共振, 几乎所有的微观计算都是在此框架下进行的^[3]. 但是, 详尽的 HF + RPA 计算也有一些不可避免的困难. 首先, 要得到巨共振的扩展宽度, 必须进行 $2p2h$ 的 RPA 计算, 从而涉及一个非常大的组态空间, 迄今只对一些轻核作过近似计算^[4]; 其次, 对于形变核基态上巨共振的研究, 将碰到基底难以选取的困难; 最后, 对于热核, 显然也存在组态空间太大的问题, 而且必须考虑连续谱的影响, 即使有限温度的 HF 计算也还存在一些模糊不清的地方, 需要花费大量的数值计算时间^[5], 更不用说自洽的 HF + RPA 计算了.

另一方面, 近几年来, 半经典方法重又得到人们的重视. 由于此方法主要涉及的是核子密度分布 $\rho_q(\vec{r})$ (或相空间分布函数 $f_q(\vec{r}, \vec{p}, t)$), 从而可以避免单粒子波函数带来的复杂性. 文献 [6] 中我们已经对球形核的静态及 isoscalar 巨共振性质作了自洽半经典 (SCSC) 计算, 得到了和实验及 HF + RPA 计算相一致的结果. 本文的目的是要用此方法讨论球形核 isovector 巨共振性质, 并同实验及 HF + RPA 计算作一比较, 以进一步检验 SCSC 方法的合理性. 同时我们还将用此方法讨论此类巨共振的同位旋分裂现象. 我们的最终目的是要讨论形变核及热核上的巨共振.

对于电模式的 isovector 巨共振, 以前的讨论常常只考虑其中的 $\Delta T_3 = 0$ 分量, 这

* 国家自然科学基金资助项目.
本文 1988 年 1 月 18 日收到.

里 T_3 为原子核同位旋第三分量量子数. 但事实上, 对此类巨共振, 还可能存在 $\Delta T_3 = \pm 1$ 的分量, 我们称这样的模式为电荷交换模式. 常见的 (n, p) , (p, n) 及 (π^0, π^\pm) 反应可能导致 $\Delta T_3 = \pm 1$ 的巨共振.

与 $\Delta T_3 = \pm 1$ 模式相应的激发算子是非厄米的, 类似于厄米算子的 Sum rule, 我们可以得到非厄米算子的 Sum rule. 通过这些 Sum rule, 可以方便地研究 $\Delta T_3 = \pm 1$ 模式的性质, 特别是巨共振的同位旋分裂.

本文安排如下: 首先简要回顾 SCSC 计算的主要内容; 第三节推导强度函数矩的计算公式, 并将结果同 HF + RPA 结果作了比较; 第四节讨论巨共振的同位旋性质; 最后为一简短小结.

二、SCSC 方法简介

半经典近似下扩展 Skyrme 力的能量密度泛函 $\mathcal{E}[\rho_n, \rho_p]$ 已由文献[6]给出, 系统总能量为

$$E = \int \mathcal{E}[\rho_n, \rho_p] d\tilde{\tau}. \quad (2.1)$$

由于粒子数守恒, Lagrangian 泛函为:

$$\mathcal{L}[\rho_n, \rho_p] = \int \{ \mathcal{E}[\rho_n, \rho_p] - \lambda_n \rho_n - \lambda_p \rho_p \} d\tilde{\tau}. \quad (2.2)$$

其极值的必要条件为:

$$\delta \mathcal{L}[\rho_n, \rho_p] = 0. \quad (2.3)$$

取三参量 Fermi 函数为试探核子密度分布

$$\rho_q = \frac{\rho_{0q}}{1 + \exp[(r - Rq)/aq]}. \quad (2.4)$$

则(2.3)式转化为:

$$\frac{\partial \mathcal{L}}{\partial \rho_{0q}} = 0, \quad \frac{\partial \mathcal{L}}{\partial Rq} = 0, \quad \frac{\partial \mathcal{L}}{\partial aq} = 0. \quad (2.5)$$

由此可确定变分参数, 具体计算及结果可见于文献[6].

三、强度函数矩计算公式及结果

我们还是分 $\Delta T_3 = 0$ (厄米算子) 和 $\Delta T_3 = \pm 1$ (非厄米算子) 两种情况进行讨论.

3.1. $\Delta T_3 = 0$ 模式

此时尽管激发算子和核子的同位旋自由度有关, 但仍是厄米的:

$$Q_\lambda = \sum_{i=1}^A F_\lambda(\tilde{\tau}_i) \tau_3(i) = \sum_{i=1}^A j_\lambda(r_i) Y_{\lambda\mu}(f_i) \tau_3(i). \quad (3.1)$$

电模式 isovector 巨共振的强度函数矩的定义见于文献 [7]. 除了常见的能量权重和非能量权重矩解, 还可以有能量负一次及能量三次等强度矩. 对于厄米算子, 这些强度矩通过 Sum rule 和一定对易子的 HF 基态期待值相联系, 例如对能量权重强度函数矩 m_1^* ,

有:

$$m_1^2 = \frac{1}{2} \langle 0 | [Q_1, [H, Q_1]] | 0 \rangle. \quad (3.2)$$

与 isoscalar 模式不同的是,由于 Q_1 与同位旋自由度有关,从而扩展 Skyrme 力中所有动量相关项都将对 $[H, Q_1]$ 作出贡献,必须逐项计算. 在此我们只给出其中一项的计算,即:

$$\begin{aligned} & Q_1, \left[\sum_{ij} \frac{1}{2} t_2 (1 + x_2 p_\sigma) \vec{k}' \cdot \delta(\vec{r}_i - \vec{r}_j) \vec{k}, Q_1 \right] \\ &= \sum_i F_\lambda(\vec{r}_i) \tau_3(i), \left[\sum_{ij} \frac{1}{2} t_2 (1 + x_2 p_\sigma) \vec{k}' \cdot \delta(\vec{r}_i - \vec{r}_j) \vec{k}, \sum_{\nu} F_\lambda(\vec{r}_\nu) \tau_3(\nu) \right] \\ &= \frac{1}{4i} \left[\sum_i F_\lambda(\vec{r}_i) \tau_3(i), \sum_{ij} t_2 (1 + x_2 p_\sigma) (\vec{k}' \cdot \delta(\vec{r}_i - \vec{r}_j)) [\nabla_i F_\lambda(\vec{r}_i) \tau_3(i) \right. \\ &\quad \left. - \nabla_j F_\lambda(\vec{r}_j) \tau_3(j)] + [\nabla_i F_\lambda(\vec{r}_i) \tau_3(i) - \nabla_j F_\lambda(\vec{r}_j) \tau_3(j)] \cdot \delta(\vec{r}_i - \vec{r}_j) \vec{k} \right] \\ &= \frac{t_2}{4} \sum_{ij} (1 + x_2 p_\sigma) \delta(\vec{r}_i - \vec{r}_j) [\nabla_i F_\lambda(\vec{r}_i) \tau_3(i) - \nabla_j F_\lambda(\vec{r}_j) \tau_3(j)]^2 \\ &= \frac{1}{2} \sum_{ij} t_2 (1 + x_2 p_\sigma) [\nabla_i F_\lambda(\vec{r}_i)]^2 [1 - \tau_3(i) \tau_3(j)] \end{aligned}$$

在得到最后结果时,利用了 $\delta(\vec{r}_i - \vec{r}_j)$ 的性质.

其余各项可类似计算,最后可得:

$$m_1^2 = \frac{\hbar^2 A}{2m 4\pi} \left\langle \left(\frac{df_\lambda}{dr} \right)^2 + \lambda(\lambda + 1) \left(\frac{f_\lambda}{r} \right)^2 \right\rangle (1 + K) \quad (3.3)$$

其中的 K 称为 isovector ($\Delta T_3 = 0$) 模式的 enhancement 因子,具体形式为:

$$\begin{aligned} K &= \left\{ \left[t_1 \left(1 + \frac{1}{2} x_1 \right) + t_2 (1 + x_2) \right] \left[\rho_n(\vec{r}) \rho_p(\vec{r}) \left[\left(\frac{df_\lambda}{dr} \right)^2 + \lambda(\lambda + 1) \left(\frac{f_\lambda}{r} \right)^2 \right] d\vec{r} \right. \right. \\ &\quad \left. \left. + \left[t_4 \left(1 + \frac{1}{2} x_4 \right) + t_5 (1 + x_5) \right] \left[\rho(\vec{r}) \rho_n(\vec{r}) \rho_p(\vec{r}) \left[\left(\frac{df_\lambda}{dr} \right)^2 + \lambda(\lambda + 1) \left(\frac{f_\lambda}{r} \right)^2 \right] d\vec{r} \right] \right. \right. \\ &\quad \left. \left. \times \left[\frac{\hbar^2}{2m} \left\langle \left(\frac{df_\lambda}{dr} \right)^2 + \lambda(\lambda + 1) \left(\frac{f_\lambda}{r} \right)^2 \right\rangle^{-1} \right] \right\} \quad (3.4) \end{aligned}$$

在得到(3.3)和(3.4)式时,已利用了自旋算子及同位旋算子的性质.

我们用自洽确定了变分参数的(2.4)式及(3.3)和(3.4)式计算了 enhancement 因子 K 和能量权重强度函数矩 m_1^2 . 我们称这样的结果为 SCSC + RPA 结果,相应地,称用 HF 基态所得的结果为 HF + RPA 结果. 表1中同时给出 SCSC + RPA 和 HF + RPA 的结果^[7]. 比较表明,两种方法给出的结果非常相近.

同 isoscalar 巨共振不相同^[6], isovector 巨共振性质和所用 Skyrme 力参数有很大关系. 从表2可以看出,由 SIII 和 Ska 称得的 K 有很大的差别. 实际上,从(3.4)式我们就可以看到, K 正比于 $t_1 + t_2$, 而对不同的 Skyrme 力参数, $t_1 + t_2$ 有很大的差异.

3.2. $\Delta T_3 = \pm 1$ 模式

巨共振可以看作相干的 $1p1h$ 激发, 文献[6]所讨论的 isoscalar 模式及前面所讨论的 isovector 的 $\Delta T_3 = 0$ 模式是质子粒子-质子空穴或中子粒子-中子空穴相干激发,形

表 1 isovector ($\Delta T_3 = 0$) 模式的 K 因子与 m_1^i , SIII

		GMR		GDR		GQR	
		HF + RPA	SCSC + RPA	HF + RPA	SCSC + RPA	HF + RPA	SCSC + RPA
^{40}Ca	K	/	0.280	/	0.385	/	0.280
	m_1^i	/	4.76×10^4	/	269.9	/	9.47×10^3
^{48}Ca	K	0.28	0.283	0.380	0.386	0.28	0.283
	m_1^i	6.42×10^4	6.342×10^4	327.6	320.6	1.28×10^4	1.262×10^4
^{90}Zr	K	0.32	0.334	0.40	0.418	0.32	0.334
	m_1^i	1.81×10^5	1.799×10^5	623.9	633.7	3.60×10^4	3.579×10^4
^{120}Sn	K	0.32	0.352	0.40	0.424	0.32	0.352
	m_1^i	2.92×10^5	2.884×10^5	831.2	829.3	5.80×10^4	5.737×10^4
^{208}Pb	K	0.34	0.353	0.41	0.445	0.34	0.353
	m_1^i	7.26×10^5	7.263×10^5	1448.8	1449.7	1.44×10^5	1.445×10^5

表 2 enhancement 因子 K 的比较

核	GDR		GQR	
	SIII	SKa	SIII	SKa
^{48}Ca	0.385	0.651	0.280	0.471
^{90}Zr	0.418	0.703	0.334	0.570
^{120}Sn	0.424	0.705	0.352	0.573
^{208}Pb	0.445	0.721	0.353	0.602

成这些巨共振时核的中子数和质子数不变, 而 $\Delta T_3 = \pm 1$ 模式则涉及质子和中子的互换, 形成的是质子粒子-中子空穴或中子粒子-质子空穴, N, Z 分别变为 $N \pm 1, Z \mp 1$.

导致中子粒子-质子空穴激发的算子为:

$$Q_+ = \sum_{i=1}^A F_\lambda(\tilde{r}_i) \tau_+(i) = \sum_{i=1}^A f_\lambda(r_i) Y_{\lambda\mu}(\hat{r}_i) \tau_+(i), \quad (3.5a)$$

而导致质子粒子-中子空穴激发的算子为:

$$Q_- = \sum_{i=1}^A F_\lambda(\tilde{r}_i) \tau_-(i) = \sum_{i=1}^A f_\lambda(r_i) Y_{\lambda\mu}(\hat{r}_i) \tau_-(i), \quad (3.5b)$$

其中的 τ_+, τ_- 分别为同位旋 raising 和 lowering 算子:

$$\tau_\pm = \tau_x \pm i\tau_y$$

对于非厄米算子 Q_\pm , 我们也可以定义强度函数:

$$S^\pm(E) = \sum_{n_\pm} |\langle n_\pm | Q_\pm | 0 \rangle|^2 \delta(E - (E_{n_\pm} - E_0)) \quad (3.6)$$

其中 $|n_+\rangle$ 和 E_{n_+} 为同位旋 raising 算子 Q_+ 所导致的本征态和相应本征能量, 而 $|n_-\rangle$ 和 E_{n_-} 是同位旋 lowering 算子 Q_- 所激发的本征态和相应的本征能量.

强度函数矩的定义也是类似的:

$$m_k^{\lambda\pm} = \int S^\pm(E) E^k dE = \sum_{n_\pm \neq 0} |\langle n_\pm | Q_\pm | 0 \rangle|^2 (E_{n_\pm} - E_0)^k. \quad (3.7)$$

我们知道,厄米算子的强度函数矩最终归结为对易子(反对易子)的基态期待值. 对于非厄米算子,如果将 $m_k^{\lambda+}$ 和 $m_k^{\lambda-}$ 合在一起考虑,则也有类似的结果:

$$m_0^{\lambda-} - m_0^{\lambda+} = \langle 0 | [Q_+, Q_-] | 0 \rangle, \quad (3.8a)$$

$$m_1^{\lambda-} + m_1^{\lambda+} = \langle 0 | [Q_+, (H, Q_-)] | 0 \rangle, \quad (3.8b)$$

$$m_2^{\lambda-} - m_2^{\lambda+} = \langle 0 | [(Q_+, H), (H, Q_-)] | 0 \rangle. \quad (3.8c)$$

我们称(3.8)式为非厄米算子的 Sum rule. 若上式右边的基态为 HF 基态,则得到的强度函数矩具有 RPA 精度.

类似于 $\Delta T_3 = 0$ 模式的讨论,我们通过计算对易关系可得下列结果:

$$m_0^{\lambda-} - m_0^{\lambda+} = \frac{1}{2\pi} [N \langle f_\lambda^2 \rangle_n - Z \langle f_\lambda^2 \rangle_p] \quad (3.9a)$$

$$m_1^{\lambda+} + m_1^{\lambda-} = \frac{\hbar^2}{m} \frac{A}{4\pi} \left\langle \left(\frac{df_\lambda}{dr} \right)^2 + \lambda(\lambda+1) \left(\frac{f_\lambda}{r} \right)^2 \right\rangle (1 + K + \eta) \quad (3.9b)$$

$$m_2^{\lambda-} - m_2^{\lambda+} = \frac{\hbar^2}{2m^2} \cdot \frac{1}{\pi} \left[N \left\langle \tilde{p}_n^2 \left(\frac{df_\lambda}{dr} \right)^2 + \lambda(\lambda+1) \left(\frac{f_\lambda}{r} \right)^2 \right\rangle_n - Z \left\langle \tilde{p}_p^2 \left(\frac{df_\lambda}{dr} \right)^2 + \lambda(\lambda+1) \left(\frac{f_\lambda}{r} \right)^2 \right\rangle_p \right] \quad (3.9c)$$

(3.9b)中的 K 已由(3.4)式给出, η 称为 charge-exchange 模式的 enhancement 因子,由(3.10)式给出:

表3 $\Delta T_3 = \pm 1$ 模式的 η 因子,零阶和一阶矩, SIII

核		GMR		GDR		GQR	
		HF + RPA	SCSC + RPA	HF + RPA	SCSC + RPA	HF + RPA	SCSC + RPA
^{48}Ca	η	0.30	0.331	0.27	0.317	0.12	0.117
	$m_0^{\lambda-} - m_0^{\lambda+}$	4981.3	4976.7	19.5	18.8	396.4	398.7
	$m_1^{\lambda-} + m_1^{\lambda+}$	1.59×10^5	1.571×10^5	786.1	793.1	2.80×10^4	2.717×10^4
^{90}Zr	η	0.41	0.432	0.42	0.413	0.16	0.172
	$m_0^{\lambda-} - m_0^{\lambda+}$	1.02×10^4	1.071×10^4	32.4	33.5	809.2	815.3
	$m_1^{\lambda-} + m_1^{\lambda+}$	4.74×10^5	4.851×10^5	1618.0	1621.7	8.10×10^4	8.071×10^4
^{120}Sn	η	0.92	0.903	0.84	0.832	0.37	0.392
	$m_0^{\lambda-} - m_0^{\lambda+}$	3.56×10^4	3.631×10^4	80.1	81.5	2836.2	2831.3
	$m_1^{\lambda-} + m_1^{\lambda+}$	3.91×10^5	3.975×10^5	2663.0	2661.7	1.49×10^5	1.532×10^5
^{208}Pb	η	2.09	2.01	2.08	2.03	0.84	0.795
	$m_0^{\lambda-} - m_0^{\lambda+}$	1.36×10^5	1.338×10^5	241.2	242.3	1.09×10^4	1.033×10^4
	$m_1^{\lambda-} + m_1^{\lambda+}$	3.71×10^6	3.697×10^6	7181.7	7183.9	4.70×10^5	4.801×10^5

$$\begin{aligned}
 \eta = & \left\{ \frac{1}{8} \left[\tau_1 \left(1 + \frac{1}{2} x_1 \right) + \tau_2 \left(1 + \frac{1}{2} x_2 \right) \right] \right\} (\rho_n(\vec{r}) - \rho_p(\vec{r}))^2 \\
 & \times \left[\left(\frac{df_\lambda}{dr} \right)^2 + \lambda(\lambda + 1) \left(\frac{f_\lambda}{r} \right)^2 \right] d\vec{r} \\
 & + \frac{1}{8} \left[\tau_4 \left(1 + \frac{1}{2} x_4 \right) + \tau_5 \left(1 + \frac{1}{2} x_5 \right) \right] \rho(\vec{r}) (\rho_n(\vec{r}) - \rho_p(\vec{r}))^2 \\
 & \times \left[\left(\frac{df_\lambda}{dr} \right)^2 + \lambda(\lambda + 1) \left(\frac{f_\lambda}{r} \right)^2 \right] d\vec{r} \\
 & + \int (\rho_n(\vec{r}) - \rho_p(\vec{r})) v_c(\vec{r}) f_\lambda^2 d\vec{r} \Big/ \left(\frac{\hbar^2}{2m} \right) A \left\langle \left(\frac{df_\lambda}{dr} \right)^2 + \lambda(\lambda + 1) \left(\frac{f_\lambda}{r} \right)^2 \right\rangle \quad (3.10)
 \end{aligned}$$

在得到 (3.9c) 时我们近似地忽略了交换效应。

我们用 (2.4) 及 (3.9) 和 (3.10) 式计算了 $\Delta T_3 = \pm 1$ 模式的 enhancement 因子 η 和 $m_0^{\lambda-} - m_0^{\lambda+}$, $m_1^{\lambda-} + m_1^{\lambda+}$, 计算结果在表 3 中给出. 表 3 同时给出了详细的 HF + RPA 计算的结果^[7]. 比较表明, SCSC + RPA 是适用于描写 isovector 巨共振的.

四、巨共振的同位旋性质

isovector 巨共振的 $\Delta T = 0, \pm 1$ 分量的激发算子分别如 (3.1) 和 (3.5) 所示, Q_0 作用于 $T_3 = \frac{1}{2}(N - Z) = T$ 的核上, 不改变 T_3 量子数, 而 Q_{\pm} 作用于上述态上, 即激发起 $T_3 = T \pm 1$ 的态, 如图 1 所示. 具有相同总同位旋量子数但不同的同位旋第 3 分量量子数的态, 它们的能量差异显然来自 Coulomb 相互作用. 若不考虑 Coulomb 作用, 则 $|T + 1, T + 1\rangle, |T + 1, T\rangle$ 和 $|T + 1, T - 1\rangle$ 三个态有相同的能量, 同样, $|T - 1, T\rangle$ 和 $|T - 1, T - 1\rangle$ 也将具有相同的能量.

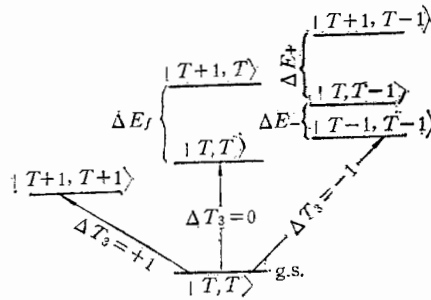


图 1 母核基态及各巨共振激发态

定义 E_+ , E_- 和 E 分别为 $\Delta T_3 = +1, -1$ 和 0 道的 centroid 能量. 类似于文献[8], 我们定义 “isovector” 和 “isotensor” 贡献 Δ_V 和 Δ_T 如下:

$$E_+ = E + \Delta_V + \Delta_T, \quad (4.1a)$$

$$E_- = E - \Delta_V + \Delta_T. \quad (4.1b)$$

对于巨共振这样的集体模式, 可以近似地认为每种激发的强度都分别集中于一个能量上, 从而可以得到:

$$\Delta_V = \{E^2(m_0^{1-} - m_0^{1+}) - (m_2^{1-} - m_2^{1+})\} / (m_1^{1-} + m_1^{1+}), \quad (4.2a)$$

$$\Delta_T = \frac{1}{2E} \Delta_V^2. \quad (4.2b)$$

得到了 Δ_V 和 Δ_T 后,就可利用文献[8]的结果计算巨共振能量的同位旋分裂(见图1):

$$\Delta E_+ = E_{T+1} - E_T = (T+1) \left[\frac{\Delta_V}{T} + \frac{(2T-1)}{2} \left(\frac{\Delta_T}{T^2} \right) \right], \quad (4.3a)$$

$$\Delta E_- = E_T - E_{T-1} = T \left[\frac{\Delta_V}{T} - \frac{(2T+3)}{2} \left(\frac{\Delta_T}{T^2} \right) \right]. \quad (4.3b)$$

强度函数矩的计算公式已在第3节中给出,我们分别讨论了球形核 ^{48}Ca , ^{90}Zr , ^{120}Sn 和 ^{208}Pb 上的 isovector GDR 和 GQR. 表4给出了对 GDR 的计算结果,并同实验测量结

表4 isovector GDR 的同位旋性质, SKa

核	Δ_V	Δ_T	$\Delta E_-(\text{MeV})$		$\Delta E_+(\text{MeV})$	
	MeV	MeV	理论	实验	理论	实验
^{48}Ca	3.75	0.77	2.7	—	5.5	—
^{90}Zr	2.83	0.71	2.0	2.2	4.1	3.9
^{120}Sn	4.31	1.02	3.2	3.6	5.8	5.5
^{208}Pb	7.64	3.21	4.2	4.5	11.3	11.2

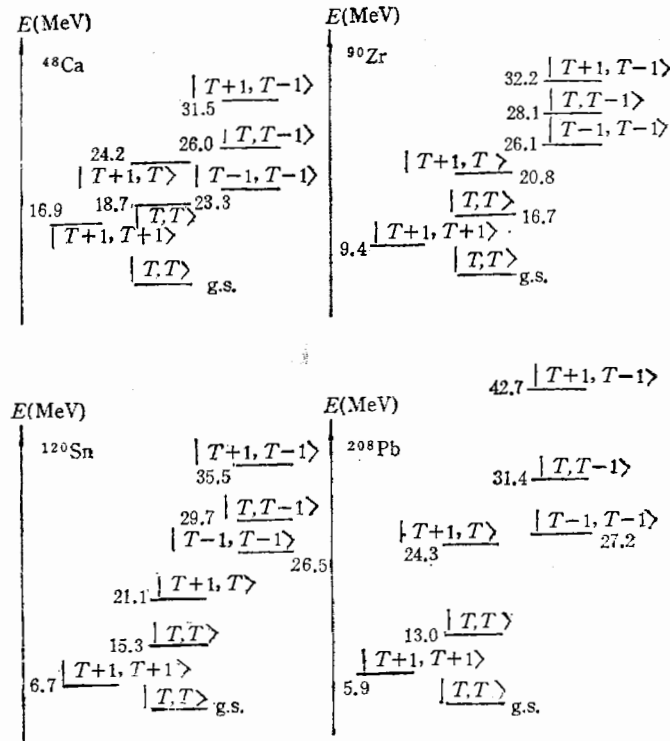


图2 isovector GDR 的同位旋性质

表 5 isovector GQR 的同位旋性质, SKa

核	$\Delta_V(\text{MeV})$	$\Delta_T(\text{MeV})$	$\Delta E_+(\text{MeV})$	$\Delta E_-(\text{MeV})$
^{48}Ca	4.84	0.36	6.4	4.3
^{90}Zr	3.54	0.24	4.3	3.5
^{120}Sn	6.06	0.33	6.8	5.9
^{208}Pb	7.25	0.51	8.1	6.7

果作了比较^[8],发现理论结果和实验事实非常接近.表 5 给出了对 GQR 的计算结果,实验上迄今对这种模式的同位旋性质研究不多,所以无法进行比较.

另外我们可以近似地认为 $E_+(T+1)$ 和 $E(T+1)$, $E(T+1)$ 和 $E_-(T+1)$ 间的能量差即为下列 Coulomb 移动

$$\bar{\Delta}_c = \int (\rho_n(\vec{r}) - \rho_p(\vec{r})) V_c(\vec{r}) d\vec{r} / (N - Z).$$

利用表 4 和表 5 的结果就可以算得图 1 中各激发态相对于母核基态的激发能量.计算中我们取 $\Delta T_3 = 0$ 模式的 E_T 近似地等于 Centroid 能量 E 的下列经验值:

$$E_T \simeq E = 78.0A^{-\frac{1}{3}}(\text{GDR}),$$

$$E_T \simeq E = 130.0A^{-\frac{1}{3}}(\text{GQR}).$$

图 2 和图 3 中我们分别给出了球形核 ^{48}Ca , ^{90}Zr , ^{120}Sn 和 ^{208}Pb 中 isovector GDR 和 GQR 各同位旋分量相对于母核基态的激发能量.所用参数为 SKa.

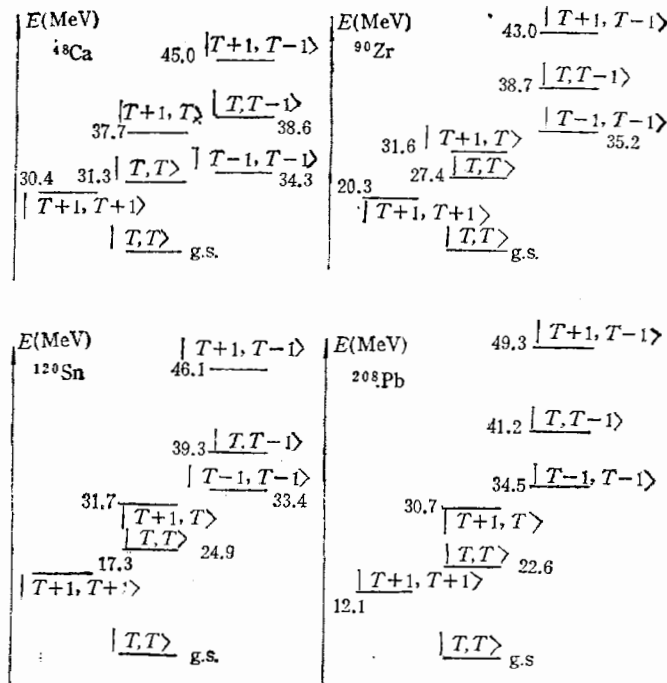


图 3 isovector GQR 的同位旋性质

五、小 结

本文在文献[6]的基础上进一步用半经典方法讨论了 isovector 巨共振性质。特别是,我们不仅考虑了 $\Delta T_3 = 0$ 分量,而且考虑了 $\Delta T_3 = \pm 1$ 分量,从而研究了巨共振的同位旋性质。

对于强度函数矩的计算结果表明, SCSC + RPA 方法得到的结果和 HF + RPA 得到的结果几乎相同,从而进一步肯定了 SCSC 方法在讨论原子核巨共振性质时的合理性。如果我们能对 isovector 巨共振也称得 m_3^2 , 则可得到其 Centroid 能量。另外,如果能进一步计算静态极化 m_{-1}^2 , 则可计算巨共振的宽度。这方面的工作正在进行之中。

原子核巨共振的同位旋分裂问题实验上还研究得并不多,而且主要集中于对 GDR 的研究。文献[8]从 (p, n) 反应确定了处于 $|T-1, T-1\rangle$ 的 GDR。理论上,文献[7]从核子-核子相互作用角度探讨了同位旋分裂问题。我们对于巨共振同位旋分裂的理论计算和已有的实验事实是相符的。

我们的最终目的是希望用此方法讨论形变核,热核和高自旋核上的巨共振。由于 SCSC 方法主要涉及核子密度分布,因而完全可以相信将此方法推广到形变核,热核和转动核是可行的。当然在实际的计算中还会碰到许多具体的困难,如核子-核子相互作用的选取,因为对于形变核,对关联将是重要的,而 Skyrme 力并没有包括成对效应。

参 考 文 献

- [1] F. E. Bertrand, *Nucl. Phys.*, **A354**(1981), 129.
- [2] G. F. Bertsch et al., *Phys. Today*, **39**(1986), 44.
- [3] G. E. Goeke and J. Speth, *Ann. Rev. Nucl. Part. Sci.*, **32**(1982), 65.
- [4] J. S. Dehesa et al., *Phys. Rev.*, **C15**(1976), 1858.
- [5] P. Bonche et al., *Nucl. Phys.*, **A372**(1981), 496.
- [6] 李国强等,扩展 Skyrme 的自洽半经典计算与原子核静态 isoscalar 巨共振性质(待发表).
- [7] N. Auerbach et al., *Nucl. Phys.*, **A395**(1983), 77.
- [8] R. Leonard, *Phys. Rev.*, **C14**(1976), 385.
- [9] W. A. Sterrmburg et al., *Phys. Rev. Lett.*, **45**(1980), 1839.

SELFCONSISTENT SEMICLASSICAL CALCULATION WITH EXTENDED SKYRME FORCES AND THE PROPERTIES OF ISOVECTOR GIANT RESONANCES

LI GUOQIANG

(Nanjing University)

XU GONGOU

(Nanjing University, Lanzhou University)

ABSTRACT

The properties of isovector giant resonances are discussed with the help of the nuclear ground state density profiles obtained from self consistent semi-classical calculation. Both the component with $\Delta T_3 = 0$ and the components with $\Delta T_3 = \pm 1$ are considered. The isospin properties of the giant resonances are thereby studied. The results are in good agreement with HF+RPA calculation and experimental evidences.